

Starkniederschlagshöhen und -spenden gemäß KOSTRA-DWD-2020

Rasterfeld 89127

(Zeile 89, Spalte 127)

Regenspende und Bemessungsniederschlagswerte in Abhängigkeit von Wiederkehrzeit T und Dauerstufe D

| Dauerstufe D | | Wiederkehrzeit T | | | | | | | | | | | | | | | | | |
|--------------|-----|------------------|------------|------|------------|------|------------|------|------------|------|------------|-------|------------|-------|------------|-------|------------|-------|------------|
| | | 1 a | | 2 a | | 3 a | | 5 a | | 10 a | | 20 a | | 30 a | | 50 a | | 100 a | |
| min | Std | mm | l / (s ha) | mm | l / (s ha) | mm | l / (s ha) | mm | l / (s ha) | mm | l / (s ha) | mm | l / (s ha) | mm | l / (s ha) | mm | l / (s ha) | mm | l / (s ha) |
| 5 | | 6,8 | 226,7 | 8,3 | 276,7 | 9,1 | 303,3 | 10,3 | 343,3 | 11,9 | 396,7 | 13,6 | 453,3 | 14,7 | 490,0 | 16,2 | 540,0 | 18,3 | 610,0 |
| 10 | | 8,7 | 145,0 | 10,5 | 175,0 | 11,6 | 193,3 | 13,1 | 218,3 | 15,2 | 253,3 | 17,3 | 288,3 | 18,7 | 311,7 | 20,6 | 343,3 | 23,2 | 386,7 |
| 15 | | 9,9 | 110,0 | 11,9 | 132,2 | 13,1 | 145,6 | 14,8 | 164,4 | 17,2 | 191,1 | 19,6 | 217,8 | 21,2 | 235,6 | 23,3 | 258,9 | 26,3 | 292,2 |
| 20 | | 10,7 | 89,2 | 12,9 | 107,5 | 14,3 | 119,2 | 16,1 | 134,2 | 18,7 | 155,8 | 21,3 | 177,5 | 23,1 | 192,5 | 25,4 | 211,7 | 28,6 | 238,3 |
| 30 | | 12,0 | 66,7 | 14,5 | 80,6 | 16,0 | 88,9 | 18,0 | 100,0 | 20,9 | 116,1 | 23,9 | 132,8 | 25,8 | 143,3 | 28,4 | 157,8 | 32,0 | 177,8 |
| 45 | | 13,4 | 49,6 | 16,1 | 59,6 | 17,8 | 65,9 | 20,1 | 74,4 | 23,3 | 86,3 | 26,6 | 98,5 | 28,8 | 106,7 | 31,6 | 117,0 | 35,7 | 132,2 |
| 60 | 1 | 14,4 | 40,0 | 17,4 | 48,3 | 19,2 | 53,3 | 21,6 | 60,0 | 25,1 | 69,7 | 28,7 | 79,7 | 31,0 | 86,1 | 34,1 | 94,7 | 38,5 | 106,9 |
| 90 | 1,5 | 16,0 | 29,6 | 19,3 | 35,7 | 21,3 | 39,4 | 24,0 | 44,4 | 27,9 | 51,7 | 31,9 | 59,1 | 34,5 | 63,9 | 37,9 | 70,2 | 42,8 | 79,3 |
| 120 | 2 | 17,2 | 23,9 | 20,8 | 28,9 | 23,0 | 31,9 | 25,8 | 35,8 | 30,0 | 41,7 | 34,3 | 47,6 | 37,1 | 51,5 | 40,8 | 56,7 | 46,0 | 63,9 |
| 180 | 3 | 19,1 | 17,7 | 23,0 | 21,3 | 25,4 | 23,5 | 28,6 | 26,5 | 33,2 | 30,7 | 38,0 | 35,2 | 41,1 | 38,1 | 45,2 | 41,9 | 51,0 | 47,2 |
| 240 | 4 | 20,5 | 14,2 | 24,7 | 17,2 | 27,3 | 19,0 | 30,8 | 21,4 | 35,7 | 24,8 | 40,8 | 28,3 | 44,2 | 30,7 | 48,5 | 33,7 | 54,8 | 38,1 |
| 360 | 6 | 22,7 | 10,5 | 27,4 | 12,7 | 30,3 | 14,0 | 34,1 | 15,8 | 39,5 | 18,3 | 45,2 | 20,9 | 48,9 | 22,6 | 53,7 | 24,9 | 60,7 | 28,1 |
| 540 | 9 | 25,1 | 7,7 | 30,3 | 9,4 | 33,5 | 10,3 | 37,7 | 11,6 | 43,7 | 13,5 | 50,0 | 15,4 | 54,1 | 16,7 | 59,4 | 18,3 | 67,1 | 20,7 |
| 720 | 12 | 27,0 | 6,3 | 32,5 | 7,5 | 36,0 | 8,3 | 40,5 | 9,4 | 47,0 | 10,9 | 53,7 | 12,4 | 58,1 | 13,4 | 63,8 | 14,8 | 72,1 | 16,7 |
| 1080 | 18 | 29,8 | 4,6 | 36,0 | 5,6 | 39,8 | 6,1 | 44,8 | 6,9 | 52,0 | 8,0 | 59,4 | 9,2 | 64,2 | 9,9 | 70,6 | 10,9 | 79,7 | 12,3 |
| 1440 | 24 | 32,0 | 3,7 | 38,6 | 4,5 | 42,7 | 4,9 | 48,1 | 5,6 | 55,8 | 6,5 | 63,8 | 7,4 | 69,0 | 8,0 | 75,8 | 8,8 | 85,6 | 9,9 |
| 2880 | 48 | 38,0 | 2,2 | 45,9 | 2,7 | 50,7 | 2,9 | 57,1 | 3,3 | 66,2 | 3,8 | 75,7 | 4,4 | 81,9 | 4,7 | 90,0 | 5,2 | 101,7 | 5,9 |
| 4320 | 72 | 42,0 | 1,6 | 50,7 | 2,0 | 56,1 | 2,2 | 63,1 | 2,4 | 73,2 | 2,8 | 83,7 | 3,2 | 90,6 | 3,5 | 99,5 | 3,8 | 112,4 | 4,3 |
| 5760 | 96 | 45,1 | 1,3 | 54,4 | 1,6 | 60,2 | 1,7 | 67,8 | 2,0 | 78,6 | 2,3 | 89,9 | 2,6 | 97,2 | 2,8 | 106,9 | 3,1 | 120,7 | 3,5 |
| 7200 | 120 | 47,7 | 1,1 | 57,5 | 1,3 | 63,6 | 1,5 | 71,6 | 1,7 | 83,1 | 1,9 | 95,0 | 2,2 | 102,8 | 2,4 | 112,9 | 2,6 | 127,5 | 3,0 |
| 8640 | 144 | 49,9 | 1,0 | 60,2 | 1,2 | 66,5 | 1,3 | 74,9 | 1,4 | 86,9 | 1,7 | 99,4 | 1,9 | 107,5 | 2,1 | 118,1 | 2,3 | 133,4 | 2,6 |
| 10080 | 168 | 51,8 | 0,9 | 62,5 | 1,0 | 69,1 | 1,1 | 77,8 | 1,3 | 90,3 | 1,5 | 103,2 | 1,7 | 111,7 | 1,8 | 122,7 | 2,0 | 138,6 | 2,3 |

Starkniederschlagshöhen und -spenden gemäß KOSTRA-DWD-2020

Rasterfeld 89127

(Zeile 89, Spalte 127)

Örtliche Unsicherheiten in Abhängigkeit von Wiederkehrzeit T und Dauerstufe D

| Dauerstufe D | | Wiederkehrzeit T | | | | | | | | |
|--------------|-----|------------------|-----|-----|-----|------|------|------|------|-------|
| | | 1 a | 2 a | 3 a | 5 a | 10 a | 20 a | 30 a | 50 a | 100 a |
| min | Std | ± % | ± % | ± % | ± % | ± % | ± % | ± % | ± % | ± % |
| 5 | | 10 | 12 | 12 | 13 | 14 | 15 | 15 | 16 | 16 |
| 10 | | 13 | 15 | 16 | 17 | 18 | 19 | 19 | 20 | 20 |
| 15 | | 14 | 16 | 17 | 18 | 19 | 20 | 21 | 21 | 22 |
| 20 | | 15 | 17 | 18 | 19 | 20 | 21 | 22 | 22 | 23 |
| 30 | | 15 | 17 | 18 | 19 | 21 | 22 | 22 | 23 | 23 |
| 45 | | 15 | 17 | 18 | 19 | 20 | 21 | 22 | 22 | 23 |
| 60 | 1 | 15 | 17 | 18 | 19 | 20 | 21 | 22 | 22 | 23 |
| 90 | 1,5 | 14 | 16 | 17 | 18 | 19 | 20 | 21 | 21 | 22 |
| 120 | 2 | 13 | 15 | 16 | 17 | 19 | 20 | 20 | 21 | 21 |
| 180 | 3 | 12 | 14 | 15 | 16 | 17 | 18 | 19 | 19 | 20 |
| 240 | 4 | 11 | 13 | 14 | 15 | 17 | 18 | 18 | 19 | 19 |
| 360 | 6 | 11 | 12 | 13 | 14 | 15 | 16 | 17 | 17 | 18 |
| 540 | 9 | 10 | 12 | 12 | 13 | 14 | 15 | 16 | 16 | 17 |
| 720 | 12 | 10 | 11 | 12 | 13 | 14 | 15 | 15 | 16 | 16 |
| 1080 | 18 | 9 | 10 | 11 | 12 | 13 | 14 | 14 | 15 | 15 |
| 1440 | 24 | 9 | 10 | 11 | 12 | 12 | 13 | 14 | 14 | 15 |
| 2880 | 48 | 10 | 10 | 11 | 11 | 12 | 12 | 13 | 13 | 14 |
| 4320 | 72 | 11 | 11 | 11 | 11 | 12 | 12 | 13 | 13 | 13 |
| 5760 | 96 | 12 | 12 | 12 | 12 | 12 | 12 | 13 | 13 | 13 |
| 7200 | 120 | 13 | 12 | 12 | 12 | 12 | 13 | 13 | 13 | 13 |
| 8640 | 144 | 14 | 13 | 13 | 13 | 13 | 13 | 13 | 13 | 13 |
| 10080 | 168 | 14 | 13 | 13 | 13 | 13 | 13 | 13 | 13 | 14 |

Parameter für abweichende T und D

Lokationsparameter ξ (Xi)

14,61388358

Skalenparameter α (Alpha)

4,18208262

Formparameter κ (Kappa)

-0,1

1. Koutsoyiannis-Parameter θ (Theta)

0,0175498

2. Koutsoyiannis-Parameter η (Eta)

0,75272811

Parameter für dauerstufenübergreifende Extremwertschätzung nach KOUTSOYIANNIS et al. 1998.

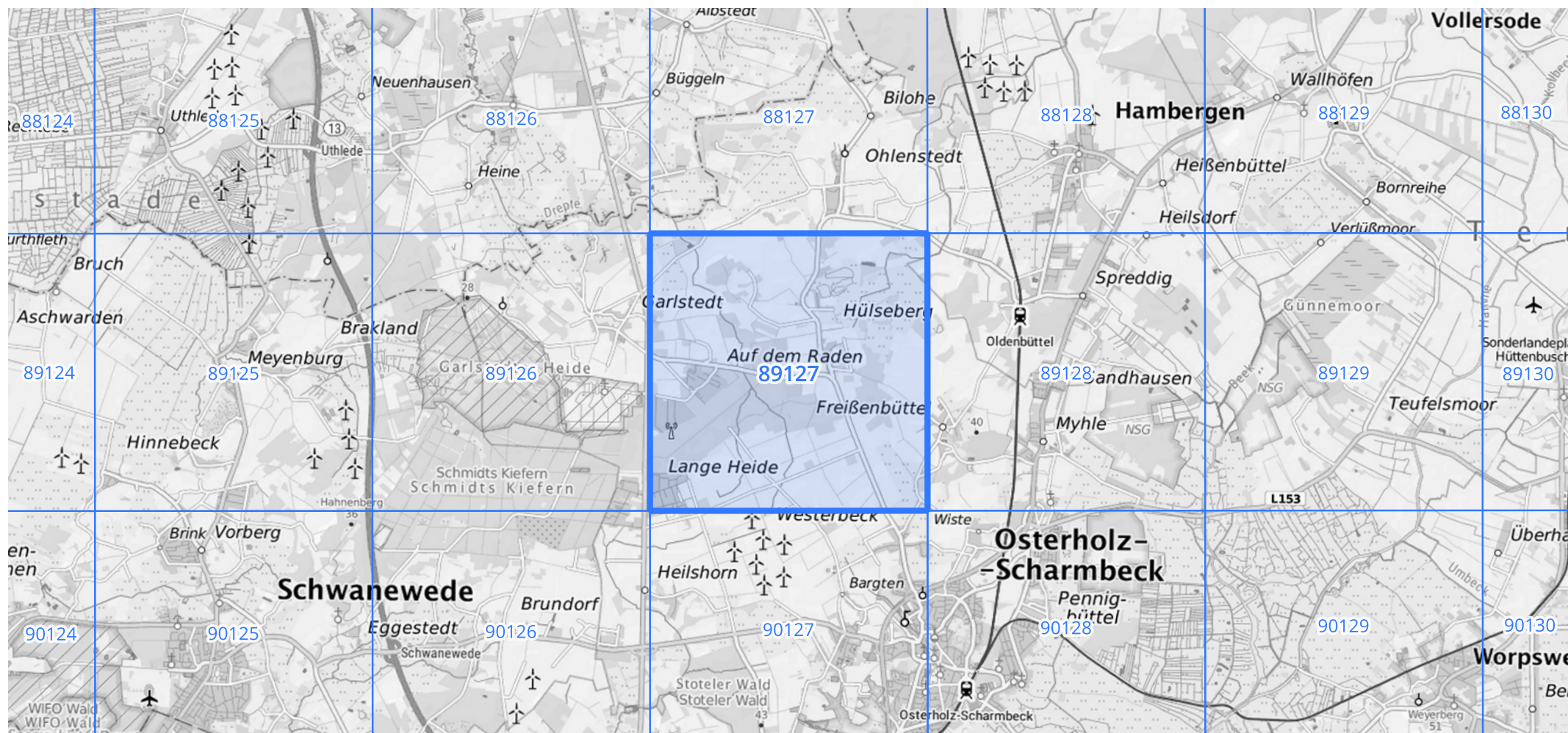
Siehe auch Anwendungshilfe zu KOSTRA-DWD-2020 des Deutschen Wetterdienstes.

Starkniederschlagshöhen und -spenden gemäß KOSTRA-DWD-2020

Rasterfeld 89127

(Zeile 89, Spalte 127)

Übersichtskarte des Rasterfeldes 89127, M 1 : 100 000



Quelle Rasterdaten: KOSTRA-DWD-2020 des Deutschen Wetterdienstes, Stand 12/2022.

Seite 3 von 3

Kartendarstellung: © Bundesamt für Kartographie und Geodäsie (2023), Datenquellen: https://sgx.geodatenzentrum.de/web_public/gdz/datenquellen/Datenquellen_TopPlusOpen.html

Für die Richtigkeit und Aktualität der Angaben wird keine Gewähr übernommen. Erstellt 01/2023.